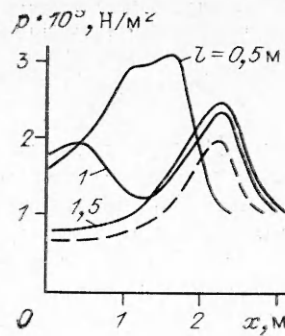


Рис. 5. Распределение давления на поверхности земли при $t = 4$ мс для различных расположений экрана.



венным. Ниже представлено отношение величины объема, свободного от ЛГМ, полученного с использованием отражающих экранов, к объему без экрана для различных значений l :

$(V_{\text{экр}}/V_{\infty}) \cdot 100\%$	240	137	0
$l, \text{ м}$	0,5	1,0	1,5

Результаты говорят о том, что эффективность отражающего экрана тем выше, чем ближе экран расположен к заряду, но при этом следует иметь в виду, что при близком расположении экрана к заряду он может разрушиться.

ЛИТЕРАТУРА

1. Орлов О. К., Кустов Ю. В. // Лесные пожары и борьба с ними.— Л., 1986.— С. 102—108.
2. А. с. 1136811, МКИ А62 с. Способ тушения лесного пожара/А. М. Гришин, В. М. Бабаев, В. Е. Абалтусов и др., 1985.
3. А. с. 1644976, МКИ А62 с. Способ тушения лесных пожаров/А. М. Гришин, Н. А. Алексеев, А. Н. Голованов, 1991.
4. Гришин А. М. Математические модели лесных пожаров.— Томск: Изд-во Том. ун-та, 1981.— 227 с.
5. Гришин А. М., Ковалев Ю. М. Экспериментальное и теоретическое исследование воздействия взрыва на фронт верхового лесного пожара // ФГВ.— 1989.— 25, № 6.— С. 72—79.
6. Каширский А. В., Орленко Л. П., Охитин В. Н. // ПМТФ.— 1973.— № 2.— С. 165—170.
7. Селиванов В. В. Численная оценка влияния формы ВВ на параметры воздушных ударных волн // ФГВ.— 1985.— 21, № 4.— С. 93—98.
8. Рихтмайер Р. Д., Мортон К. У. Разностные методы решения краевых задач.— М.: Мир, 1972.— 418 с.
9. Численные решения многомерных задач газовой динамики.— М.: Наука, 1976.— 400 с.
10. Баум Ф. А., Орленко Л. Н., Станюкович К. П. и др. Физика взрыва.— М.: Наука, 1975.— 704 с.
11. Дубов А. С., Быкова Л. П., Марунич С. В. Турбулентность в растительном покрове.— Л.: Гидрометеониздат, 1978.— 182 с.
12. Взрывные явления. Оценки и последствия.— М.: Мир, 1986.— 319 с.

г. Томск

Поступила в редакцию 27/VII 1992

УДК 539.31

А. Д. Реснянский, Е. И. Роменский

МОДЕЛЬ ДИНАМИЧЕСКОГО ДЕФОРМИРОВАНИЯ СЛОИСТОГО ТЕРМОВЯЗКОУПРУГОГО КОМПОЗИТА

С помощью феноменологической процедуры осреднения получена модель слоистого гомогенного термовязкоупругого композита. Для ее построения использовались только свойства фаз. Система уравнений динамики композита замыкается уравнением состояния (упругим потенциалом), по которому вычисляются напря-

© А. Д. Реснянский, Е. И. Роменский, 1993.

9*

123

жения и температура. Полученные уравнения удовлетворяют принципу симметрии Онзагера и являются термодинамически корректными. При выводе соотношений не использовались предположения о регулярности расположения слоев и постоянстве времен релаксации, так что кинетические коэффициенты могут зависеть от состояния среды.

В работе [1] при помощи процедуры феноменологического осреднения получены уравнения динамического поведения вязкоупругого волокнистого двухфазного композита в случае малых упругих деформаций с учетом термических процессов. В настоящей работе использованы методы и результаты [1] для вывода уравнений динамики двухфазного слоистого композита. Подобная методика применялась для рассмотрения волокнистых и слоистых композитов без учета термических процессов [2—4]. При этом возникают новые макроскопические внутренние переменные, характеризующие неоднородность поля напряжений вдоль линий укладки компонентов композита. Ненулевое поле этих переменных, которое может образовываться как при изготовлении композита, так и в процессе его эксплуатации, существенно меняет динамику макроскопического поведения композита [3, 4].

Рассмотрим двухфазный слоистый композит, образованный параллельными чередующимися вязкоупругими слоями из двух изотропных материалов. Относительно соотношения толщин слоев и их упорядочения не делается никаких предположений, известными считаются только объемные концентрации и все необходимые свойства фаз.

Пусть каждая фаза композита описывается релаксационными уравнениями Максвелла для малых термоупругих деформаций [5]

$$\begin{aligned} \rho_\alpha \frac{\partial u_i^\alpha}{\partial t} - \frac{\partial \sigma_{ij}^\alpha}{\partial x_j} &= 0, \\ \frac{\partial \varepsilon_{ij}^\alpha}{\partial t} - \frac{1}{2} \left(\frac{\partial u_i^\alpha}{\partial x_j} + \frac{\partial u_j^\alpha}{\partial x_i} \right) &= -\varphi_{ij}, \quad \frac{\partial s^\alpha}{\partial t} = \kappa^\alpha, \\ \kappa^\alpha &= \frac{1}{2T^\alpha \mu_\alpha \tau_\alpha} \sum_{i,j=1}^3 \left(\sigma_{ij}^\alpha - \frac{1}{3} (\sigma_{11}^\alpha + \sigma_{22}^\alpha + \sigma_{33}^\alpha) \delta_{ij} \right)^2 = \\ &= \frac{1}{T^\alpha} \sigma_{ij}^\alpha \varphi_{ij}, \quad \varphi_{ij}^\alpha = \frac{\sigma_{ij}^\alpha - \frac{1}{3} (\sigma_{11}^\alpha + \sigma_{22}^\alpha + \sigma_{33}^\alpha) \delta_{ij}}{2\mu_\alpha \tau_\alpha}. \end{aligned} \quad (1)$$

Здесь для каждой фазы ($\alpha = 1, 2$) u_i^α — вектор скорости; σ_{ij}^α — тензор напряжений; ε_{ij}^α — тензор эффективных упругих деформаций; s^α — энтропия на единицу объема; T^α — температура; $\rho_\alpha = \text{const}$ — плотность; μ_α — модуль сдвига; τ_α — время релаксации касательных напряжений, которое может быть функцией параметров состояния среды. Верхние индексы здесь и далее обозначают принадлежность параметра соответствующей фазе композита.

Напряжения и температура вычисляются с помощью упругого потенциала (внутренняя энергия на единицу объема)

$$\begin{aligned} U^\alpha &= \frac{\lambda_\alpha}{2} (\varepsilon_{11}^\alpha + \varepsilon_{22}^\alpha + \varepsilon_{33}^\alpha)^2 + \mu_\alpha ((\varepsilon_{11}^\alpha)^2 + (\varepsilon_{22}^\alpha)^2 + (\varepsilon_{33}^\alpha)^2 + 2\varepsilon_{12}^\alpha \varepsilon_{21}^\alpha + \\ &+ 2\varepsilon_{23}^\alpha \varepsilon_{32}^\alpha + 2\varepsilon_{31}^\alpha \varepsilon_{13}^\alpha) - \pi_\alpha (\varepsilon_{11}^\alpha + \varepsilon_{22}^\alpha + \varepsilon_{33}^\alpha) s^\alpha + \frac{\omega_\alpha}{2} (s^\alpha)^2 + T_0 s^\alpha \end{aligned} \quad (2)$$

по формулам

$$\sigma_{ij}^\alpha = \frac{\partial U^\alpha}{\partial \varepsilon_{ij}^\alpha} = \lambda_\alpha (\varepsilon_{11}^\alpha + \varepsilon_{22}^\alpha + \varepsilon_{33}^\alpha) \delta_{ij} + 2\mu_\alpha \varepsilon_{ij}^\alpha - \pi_\alpha s^\alpha \delta_{ij}, \quad (3)$$

$$T^\alpha = \frac{\partial U^\alpha}{\partial s^\alpha} = T_0 + \omega_\alpha s^\alpha - \pi_\alpha (\varepsilon_{11}^\alpha + \varepsilon_{22}^\alpha + \varepsilon_{33}^\alpha). \quad (4)$$

Здесь T_0 — начальная температура; $\lambda_\alpha, \mu_\alpha$ — коэффициенты Ламе, константы ω_α и π_α связаны с удельной теплоемкостью при постоянном объеме c_V^α и коэффициентом объемного расширения l_α формулами

$$\omega_\alpha = \frac{T_0}{\rho_\alpha c_V^\alpha}, \quad l_\alpha = \pi_\alpha \left/ \left(\omega_\alpha \left(\lambda_\alpha + \frac{2}{3} \mu_\alpha \right) - (\pi_\alpha)^2 \right) \right.$$

Теперь выведем уравнения динамики композита как гомогенной сплошной среды, используя уравнения (1)–(4) движения каждой фазы.

Пусть слои расположены перпендикулярно оси x_1 , а концентрация фаз в представительном элементе объема c и $(1-c)$. Далее обозначим (A_α — характеристика фазы α)

$$\langle A \rangle = cA_1 + (1-c)A_2, \quad \bar{A} = (1-c)A_1 + cA_2 = A_1A_2\langle A^{-1} \rangle.$$

При построении модели используем односкоростное и однотемпературное приближение. Это означает что

$$u_i^1 = u_i^2 = u_i, \quad (5)$$

$$T^1 = T^2 = T. \quad (6)$$

Система постулатов феноменологического усреднения кроме (5) и (6) включает следующие определяющие связи:

$$\sigma_{ij}^\alpha = \sigma_{ij}, \quad (i, j) = (1, 1), (1, 2), (1, 3), \quad \alpha = 1, 2, \quad (7)$$

$$\sigma_{ij} = c\sigma_{ij}^1 + (1-c)\sigma_{ij}^2, \quad (i, j) = (2, 2), (2, 3), (3, 3), \quad (8)$$

$$\varepsilon_{ij} = c(\varepsilon_{ij}^1 - \bar{\varepsilon}_{ij}^1) + (1-c)(\varepsilon_{ij}^2 - \bar{\varepsilon}_{ij}^2), \quad (i, j) = (1, 1), (1, 2), (1, 3), \quad (9)$$

$$\varepsilon_{ij} = \varepsilon_{ij}^1 - \bar{\varepsilon}_{ij}^1 = \varepsilon_{ij}^2 - \bar{\varepsilon}_{ij}^2, \quad (i, j) = (2, 2), (2, 3), (3, 3), \quad (10)$$

$$s = cs^1 + (1-c)s^2. \quad (11)$$

Соотношения (5)–(7) требуют однородности полей скоростей и температуры и вектора напряжений, действующего на площадке с нормалью вдоль оси x_1 . Для напряжений σ_{ij} , действующих в плоскости слоя, логично применить правило смесей (8). В (9), (10) принято, что упругие деформации ε_{ij} отсчитываются от «стандартного» состояния $\bar{\varepsilon}_{ij}^\alpha$, при этом все ε_{ij} вычисляются по правилу смесей, кроме деформации в плоскости слоев, которая одна и та же для обеих фаз. Для энтропии принята естественная гипотеза аддитивности (11).

Видно, что данные гипотезы допускают существование для каждой фазы ненулевых напряжений σ_{ij}^α , действующих в плоскости слоев, даже если все макронапряжения равны нулю. Из (10) следует, что введение параметров $\Delta_{ij} = \varepsilon_{ij}^1 - \varepsilon_{ij}^2 = \bar{\varepsilon}_{ij}^1 - \bar{\varepsilon}_{ij}^2$, $(i, j) = (2, 2), (2, 3), (3, 3)$, позволяет выразить все деформации и энтропию для каждой из фаз через макроскопические характеристики композита: тензор деформации ε_{ij} , энтропию s и тензор «неравновесности» Δ_{ij} . Определим равновесное «стандартное» состояние, от которого отсчитываются деформации. Характеристики этого состояния $\bar{\varepsilon}_{ij}^\alpha$, s^α удовлетворяют условиям отсутствия макронапряжений при нормальной температуре T_0 :

$$\sigma_{ij}^\alpha = 0, \quad (i, j) = (1, 1), (1, 2), (1, 3), \quad \alpha = 1, 2,$$

$$\sigma_{ij} = c\sigma_{ij}^1 + (1-c)\sigma_{ij}^2 = 0, \quad (i, j) = (2, 2), (2, 3), (3, 3), \quad (12)$$

$$T^\alpha = T_0, \quad \alpha = 1, 2.$$

Введем новые переменные, характеризующие неравновесность:

$$\Delta_+ = (\Delta_{22} + \Delta_{33})/2, \quad \Delta_- = (\Delta_{22} - \Delta_{33})/2.$$

С помощью формул (3), (4) система (12) может быть разрешена относительно $\bar{\varepsilon}_{ij}^\alpha, \bar{s}^\alpha$:

$$\begin{aligned}\bar{\varepsilon}_{22}^1 &= \frac{(1-c)\widehat{D}_2}{\langle \widehat{D} \rangle} \Delta_+ + \frac{(1-c)\mu_2}{\langle \mu \rangle} \Delta_-, \quad \bar{\varepsilon}_{22}^2 = -\frac{c\widehat{D}_1}{\langle \widehat{D} \rangle} \Delta_+ - \frac{c\mu_1}{\langle \mu \rangle} \Delta_-, \\ \bar{\varepsilon}_{33}^1 &= \frac{(1-c)\widehat{D}_2}{\langle \widehat{D} \rangle} \Delta_+ - \frac{(1-c)\mu_2}{\langle \mu \rangle} \Delta_-, \quad \bar{\varepsilon}_{33}^2 = -\frac{c\widehat{D}_1}{\langle \widehat{D} \rangle} \Delta_+ + \frac{c\mu_1}{\langle \mu \rangle} \Delta_-, \\ \bar{\varepsilon}_{23}^1 &= \frac{(1-c)\mu_2}{\langle \mu \rangle} \Delta_{23}, \quad \bar{\varepsilon}_{23}^2 = -\frac{c\mu_1}{\langle \mu \rangle} \Delta_{23}, \quad \bar{\varepsilon}_{ij}^\alpha = 0, \\ &(i, j) = (1, 2), (1, 3), \alpha = 1, 2, \\ \bar{\varepsilon}_{11}^1 &= -\frac{\widehat{\lambda}_1}{\widehat{\lambda}_1 + 2\mu_1} (\bar{\varepsilon}_{22}^1 + \bar{\varepsilon}_{33}^1), \quad \bar{\varepsilon}_{11}^2 = -\frac{\widehat{\lambda}_2}{\widehat{\lambda}_2 + 2\mu_2} (\bar{\varepsilon}_{22}^2 + \bar{\varepsilon}_{33}^2), \\ \bar{s}^1 &= \frac{\pi_1}{\omega_1} \frac{2\mu_1}{\widehat{\lambda}_1 + 2\mu_1} (\bar{\varepsilon}_{22}^1 + \bar{\varepsilon}_{33}^1), \quad \bar{s}^2 = \frac{\pi_2}{\omega_2} \frac{2\mu_2}{\widehat{\lambda}_2 + 2\mu_2} (\bar{\varepsilon}_{22}^2 + \bar{\varepsilon}_{33}^2).\end{aligned}\tag{13}$$

Здесь $\widehat{\lambda}_i = \lambda_i - \frac{(\pi_i)^2}{\omega_i}$; $\widehat{D}_i = \frac{\mu_i(3\widehat{\lambda}_i + 2\mu_i)}{\widehat{\lambda}_i + 2\mu_i}$. Таким образом, «стандартное» равновесное макроскопически ненапряженное состояние зависит от параметров Δ_{ij} , определяющихся неустранимой разницей упругих деформаций фаз $\bar{\varepsilon}_{ij}^\alpha$ в плоскости слоев. Отметим, что таким образом введенное «стандартное» состояние характеризуется ненулевой энтропией \bar{s} , определяемой неравновесностью:

$$\begin{aligned}\bar{s} &= c\bar{s}^1 + (1-c)\bar{s}^2 = B_+ \vartheta \Delta_+, \\ B_+ &= \frac{c(1-c)\widehat{D}_1\widehat{D}_2}{\langle \widehat{D} \rangle}, \quad \vartheta = \frac{\pi_1}{\omega_1(3\widehat{\lambda}_1 + 2\mu_1)} - \frac{\pi_2}{\omega_2(3\widehat{\lambda}_2 + 2\mu_2)}.\end{aligned}\tag{14}$$

Выразим теперь параметры состояния каждой фазы через макроскопические характеристики материала. Для этого, используя (3), (4), (13), вычислим $\varepsilon_{ij}^\alpha, s^\alpha$ через $\varepsilon_{ij}, s, \Delta_{ij}$ из уравнений (6) — (11):

$$\begin{aligned}\varepsilon_{11}^1 &= \frac{\lambda_2' + 2\mu_2}{\lambda_1' + 2\mu_1} \varepsilon_{11} + \frac{(1-c)(\lambda_2' - \lambda_1')}{\lambda_1' + 2\mu_1} (\varepsilon_{22} + \varepsilon_{33}) - \frac{\pi_2'}{\lambda_1' + 2\mu_1} (s - \bar{s}) + \bar{\varepsilon}_{11}^1, \\ \varepsilon_{11}^2 &= \frac{\lambda_1' + 2\mu_1}{\lambda_2' + 2\mu_2} \varepsilon_{11} - \frac{c(\lambda_2' - \lambda_1')}{\lambda_2' + 2\mu_2} (\varepsilon_{22} + \varepsilon_{33}) - \frac{\pi_1'}{\lambda_2' + 2\mu_2} (s - \bar{s}) + \bar{\varepsilon}_{11}^2, \\ \varepsilon_{ij}^1 &= \frac{\langle \mu^{-1} \rangle^{-1}}{\mu_1} \varepsilon_{ij}, \quad \varepsilon_{ij}^2 = \frac{\langle \mu^{-1} \rangle^{-1}}{\mu_2} \varepsilon_{ij}, \quad (i, j) = (1, 2), (1, 3), \\ \varepsilon_{ij}^1 &= \varepsilon_{ij} + \bar{\varepsilon}_{ij}^1, \quad \varepsilon_{ij}^2 = \varepsilon_{ij} + \bar{\varepsilon}_{ij}^2, \quad (i, j) = (2, 2), (2, 3), (3, 3), \\ s^1 &= \left(\frac{\pi_1}{\omega} \frac{\lambda_2' + 2\mu_2}{\lambda_1' + 2\mu_1} - \frac{\pi_2}{\omega} \right) \varepsilon_{11} + (1-c) \left(\frac{\pi_1}{\omega} \frac{\lambda_2' - \lambda_1'}{\lambda_1' + 2\mu_1} - \frac{\pi_2 - \pi_1}{\omega} \right) (\varepsilon_{22} + \varepsilon_{33}) + \\ &\quad + \left(\frac{\omega_2}{\omega} - \frac{\pi_1}{\omega} \frac{\pi_2'}{\lambda_1' + 2\mu_1} \right) (s - \bar{s}) + \bar{s}^1, \\ s^2 &= \left(\frac{\pi_2}{\omega} \frac{\lambda_1' + 2\mu_1}{\lambda_2' + 2\mu_2} - \frac{\pi_1}{\omega} \right) \varepsilon_{11} - c \left(\frac{\pi_2}{\omega} \frac{\lambda_2' - \lambda_1'}{\lambda_2' + 2\mu_2} - \frac{\pi_2 - \pi_1}{\omega} \right) (\varepsilon_{22} + \varepsilon_{33}) + \\ &\quad + \left(\frac{\omega_1}{\omega} - \frac{\pi_2}{\omega} \frac{\pi_1'}{\lambda_2' + 2\mu_2} \right) (s - \bar{s}) + \bar{s}^2,\end{aligned}\tag{15}$$

Здесь $\pi_1' = \pi_1 - \frac{\pi_1}{\omega} \omega_1$; $\pi_2' = \pi_2 - \frac{\pi_2}{\omega} \omega_2$; $\lambda_1' = \lambda_1 - \frac{\pi_1}{\omega} \pi_1$; $\lambda_2' = \lambda_2 - \frac{\pi_2}{\omega} \pi_2$.

Формулы (15), выражающие параметры состояния каждой фазы через макроскопические параметры состояния однородного материала,

позволяют получить соотношения, определяющие внутреннюю энергию композита, а также напряжения и температуру. Из (3), (7), (8) имеем

$$\begin{aligned}\sigma_{11} &= C_{11}\varepsilon_{11} + C_{12}\varepsilon_{22} + C_{12}\varepsilon_{33} - d_1(s - \bar{s}), \\ \sigma_{22} &= C_{12}\varepsilon_{11} + C_{22}\varepsilon_{22} + C_{23}\varepsilon_{33} - d_2(s - \bar{s}), \\ \sigma_{33} &= C_{12}\varepsilon_{11} + C_{23}\varepsilon_{22} + C_{22}\varepsilon_{33} - d_2(s - \bar{s}), \\ \sigma_{12} &= 2C_{66}\varepsilon_{12}, \quad \sigma_{13} = 2C_{66}\varepsilon_{13}, \quad \sigma_{23} = (C_{22} - C_{23})\varepsilon_{23};\end{aligned}\tag{16}$$

$$\begin{aligned}C_{11} &= \left\langle \frac{1}{\lambda' + 2\mu} \right\rangle^{-1} + \frac{\tilde{\pi}}{\omega} \langle \pi^{-1} \rangle^{-1}, \\ C_{12} &= \left\langle \frac{\lambda'}{\lambda' + 2\mu} \right\rangle \left\langle \frac{1}{\lambda' + 2\mu} \right\rangle^{-1} + \frac{\tilde{\pi}}{\omega} \langle \pi^{-1} \rangle^{-1}, \\ C_{22} &= \langle \lambda' + 2\mu \rangle - c(1-c) \frac{(\lambda'_2 - \lambda'_1)^2}{\lambda' + 2\mu} + \frac{\tilde{\pi}}{\omega} \langle \pi^{-1} \rangle^{-1}, \quad C_{23} = C_{22} - \langle 2\mu \rangle, \\ \frac{1}{2}(C_{22} - C_{23}) &= \langle \mu \rangle, \quad C_{66} = \left\langle \frac{1}{\mu} \right\rangle^{-1}, \\ d_1 &= \left\langle \frac{\pi}{\omega} \right\rangle \langle \omega^{-1} \rangle^{-1} - c(1-c) \frac{(\lambda'_2 - \lambda'_1 + 2\mu_2 - 2\mu_1)(\pi'_2 - \pi'_1)}{\lambda' + 2\mu}, \\ d_2 &= \left\langle \frac{\pi}{\omega} \right\rangle \langle \omega^{-1} \rangle^{-1} - c(1-c) \frac{(\lambda'_2 - \lambda'_1)(\pi'_2 - \pi'_1)}{\lambda' + 2\mu}.\end{aligned}\tag{17}$$

Из (4), (6), (15) для вычисления температуры следует зависимость

$$T = T_0 - d_1\varepsilon_{11} - d_2(\varepsilon_{22} + \varepsilon_{33}) + \Omega(s - \bar{s}),\tag{18}$$

$$\Omega = \langle \omega^{-1} \rangle^{-1} - c(1-c) \frac{(\pi'_2 - \pi'_1)^2}{\lambda' + 2\mu}.\tag{19}$$

Исходя из легко проверяемой формулы

$$-c(1-c) \frac{(L_2 - L_1)(M_2 - M_1)}{\tilde{N}} = \left\langle \frac{L}{N} \right\rangle \left\langle \frac{M}{N} \right\rangle \left\langle \frac{1}{N} \right\rangle^{-1} - \left\langle \frac{LM}{N} \right\rangle,$$

можно получить безиндексную запись для коэффициентов C_{22} , d_1 , d_2 , Ω :

$$\begin{aligned}C_{22} &= \langle \lambda' + 2\mu \rangle + \left\langle \frac{\lambda'}{\lambda' + 2\mu} \right\rangle^2 \left\langle \frac{1}{\lambda' + 2\mu} \right\rangle^{-1} - \left\langle \frac{(\lambda')^2}{\lambda' + 2\mu} \right\rangle + \frac{\tilde{\pi}}{\omega} \langle \pi^{-1} \rangle^{-1}, \\ d_1 &= \left\langle \frac{\pi}{\omega} \right\rangle \langle \omega^{-1} \rangle^{-1} + \left\langle \frac{\pi'}{\lambda' + 2\mu} \right\rangle \left\langle \frac{1}{\lambda' + 2\mu} \right\rangle^{-1} - \langle \pi' \rangle, \\ d_2 &= \left\langle \frac{\pi}{\omega} \right\rangle \langle \omega^{-1} \rangle^{-1} - \left\langle \frac{\pi'}{\lambda' + 2\mu} \right\rangle \left\langle \frac{\lambda'}{\lambda' + 2\mu} \right\rangle \left\langle \frac{1}{\lambda' + 2\mu} \right\rangle^{-1} - \left\langle \frac{\pi'\lambda'}{\lambda' + 2\mu} \right\rangle, \\ \Omega &= \langle \omega^{-1} \rangle^{-1} + \left\langle \frac{\pi'}{\lambda' + 2\mu} \right\rangle^2 \left\langle \frac{1}{\lambda' + 2\mu} \right\rangle^{-1} - \left\langle \frac{(\pi')^2}{\lambda' + 2\mu} \right\rangle.\end{aligned}$$

Ниже убедимся, что напряжения σ_{ij} и температура T , определяемые формулами (16), (18), могут быть вычислены как производные упругого потенциала композита $U = cU^1 + (1-c)U^2$:

$$\sigma_{ij} = \frac{\partial U}{\partial \varepsilon_{ij}}, \quad T = \frac{\partial U}{\partial s}.$$

Для вычисления U удобно вместо (2) использовать представление

$$U^\alpha = \frac{1}{2} \sigma_{ij}^\alpha \varepsilon_{ij}^\alpha + \frac{1}{2} (T^\alpha - T_0) s^\alpha + T_0 s^\alpha.$$

С помощью (6) — (8) получим

$$\begin{aligned}U &= \frac{1}{2} C_{11} (\varepsilon_{11})^2 + \frac{1}{2} C_{22} ((\varepsilon_{22})^2 + (\varepsilon_{33})^2) + C_{12} \varepsilon_{11} (\varepsilon_{22} + \varepsilon_{33}) + \\ &+ C_{23} \varepsilon_{22} \varepsilon_{33} + 2C_{66} (\varepsilon_{12} \varepsilon_{21} + \varepsilon_{31} \varepsilon_{13}) + (C_{22} - C_{23}) \varepsilon_{23} \varepsilon_{32} +\end{aligned}$$

$$\begin{aligned}
& + \frac{1}{2} B_+ (\Delta_+)^2 + \frac{1}{2} B_- (\Delta_-)^2 + B_{23} \Delta_{23} \Delta_{32} + \\
& + \frac{1}{2} \Omega (s - \bar{s})^2 - d_1 \varepsilon_{11} (s - \bar{s}) - d_2 (\varepsilon_{22} + \varepsilon_{33}) (s - \bar{s}) + T_0 s. \quad (20)
\end{aligned}$$

Здесь B_+ , C_{ij} , d_i , Ω определяются из (14), (17), (19):

$$B_- = \frac{c(1-c)\mu_1\mu_2}{\langle \mu \rangle}, \quad B_{23} = B_-/2.$$

Итак, получена зависимость внутренней энергии U композита от его макроскопических параметров: ε_{ij} , s , Δ_{ij} . Отметим, что энергия зависит от Δ_+ не только в виде слагаемого $\frac{1}{2} B_+ (\Delta_+)^2$, но и посредством $\bar{s}(\Delta_+)$ в (14), так что $q_+ = \partial U / \partial \Delta_+ = B_+ \Delta_+$, $\Delta'_+ = \Delta_+ - \vartheta(T - T_0)$. Тензор модулей упругости обладает свойствами симметрии трансверсально-изотропного материала.

Для вычисления напряжений в каждой фазе композита необходимы зависимости σ_{22}^α , σ_{23}^α , σ_{33}^α от σ_{ij} , T и q_{ij} , которые можно получить из (3), (4) и (16):

$$\begin{aligned}
\sigma_{kk}^1 &= \left(\frac{\widehat{\lambda}_1}{\widehat{\lambda}_1 + 2\mu_1} - \left\langle \frac{\widehat{\lambda}}{\widehat{\lambda} + 2\mu} \right\rangle \frac{\widehat{D}_1}{\langle \widehat{D} \rangle} \right) \sigma_{11} + \frac{\widehat{D}_1}{\langle \widehat{D} \rangle} \frac{\sigma_{22} + \sigma_{33}}{2} \pm \\
&\quad \pm \frac{\mu_1}{\langle \mu \rangle} \frac{\sigma_{22} - \sigma_{33}}{2} + \frac{q_+}{2c} \pm \frac{q_-}{2c}, \\
\sigma_{kk}^2 &= \left(\frac{\widehat{\lambda}_2}{\widehat{\lambda}_2 + 2\mu_2} - \left\langle \frac{\widehat{\lambda}}{\widehat{\lambda} + 2\mu} \right\rangle \frac{\widehat{D}_2}{\langle \widehat{D} \rangle} \right) \sigma_{11} + \frac{\widehat{D}_2}{\langle \widehat{D} \rangle} \frac{\sigma_{22} + \sigma_{33}}{2} \pm \\
&\quad \pm \frac{\mu_2}{\langle \mu \rangle} \frac{\sigma_{22} - \sigma_{33}}{2} - \frac{q_+}{2(1-c)} \mp \frac{q_-}{2(1-c)} \quad (k = 2, 3), \\
\sigma_{23}^1 &= \frac{\mu_1}{\langle \mu \rangle} \sigma_{23} + \frac{q_{23}}{c}, \quad \sigma_{23}^2 = \frac{\mu_2}{\langle \mu \rangle} \sigma_{23} - \frac{q_{23}}{1-c},
\end{aligned} \quad (21)$$

где $q_- = \partial U / \partial \Delta_- = B_- \Delta_-$; $q_{23} = \partial U / \partial \Delta_{23} = B_{23} \Delta_{32}$. В (21) значению $k = 2$ соответствует верхний знак, а $k = 3$ — нижний.

Перейдем к выводу дифференциальных уравнений динамики композита для его макроскопических характеристик — скоростей u_i , деформаций ε_{ij} , параметров неравновесности Δ и энтропии s . Используя гипотезу односкоростного приближения (5), а также предположения (7), (8), из (1) получаем

$$\rho \frac{\partial u_i}{\partial t} - \frac{\partial \sigma_{ij}}{\partial x_j} = 0. \quad (22)$$

Здесь $\rho = \langle \rho \rangle = c\rho_1 + (1-c)\rho_2$, а σ_{ij} вычисляются из (16).

Уравнения эволюции тензора макродеформаций ε_{ij} и параметров Δ_+ , Δ_- , Δ_{23} следуют из их определения (9), (10), а также выражений (13) для ε_{ij}^α :

$$\begin{aligned}
\frac{\partial \varepsilon_{ij}}{\partial t} - \frac{1}{2} \left[\frac{\partial u_i}{\partial x_j} + \frac{\partial u_j}{\partial x_i} \right] &= -\Phi_{ij}, \\
\frac{\partial \Delta_+}{\partial t} &= -\Psi_+, \quad \frac{\partial \Delta_-}{\partial t} = -\Psi_-, \quad \frac{\partial \Delta_{23}}{\partial t} = -\Psi_{23}.
\end{aligned} \quad (23)$$

Здесь Φ_{ij} и Ψ_{ij} описывают скорости изменения неупругих деформаций:

$$\begin{aligned}
\Phi_{11} &= \alpha_{11} \sigma_{11} + \alpha_{12} (\sigma_{22} + \sigma_{33}) + \beta_1^+ q_+, \\
\Phi_{22} &= \alpha_{12} \sigma_{11} + \alpha_{22} \sigma_{22} + \alpha_{23} \sigma_{33} + \beta_2^+ q_+ + \beta_2^- q_-, \\
\Phi_{33} &= \alpha_{12} \sigma_{11} + \alpha_{23} \sigma_{22} + \alpha_{22} \sigma_{33} + \beta_2^+ q_+ - \beta_2^- q_-, \\
\Phi_{12} &= \alpha_{66} \sigma_{12}, \quad \Phi_{13} = \alpha_{66} \sigma_{13}, \quad \Phi_{23} = (\alpha_{22} - \alpha_{23}) \sigma_{23} + \beta_{23} q_{23},
\end{aligned}$$

$$\begin{aligned} \psi_+ = \beta_1^+ \sigma_{11} + \beta_2^+ (\sigma_{22} + \sigma_{33}) + \gamma^+ q_+, \quad \psi_- = \beta_2^- (\sigma_{22} - \sigma_{33}) + \\ + \gamma^- q_-, \quad \psi_{23} = \beta_{23} \sigma_{23} + \gamma_{23} q_{23}. \end{aligned} \quad (24)$$

Коэффициенты α_{ij} , β_i^\pm , γ_i^\pm , β_{23} , γ_{23} вычисляются по формулам

$$\begin{aligned} \alpha_{11} = 3 \left\langle \frac{\mu (\Lambda)^2}{\tau} \right\rangle, \quad \alpha_{12} = \frac{-1}{2 \langle \widehat{D} \rangle} \left\langle \frac{\widehat{D} \Lambda}{\tau} \right\rangle, \\ \alpha_{22} = \frac{1}{12 \langle \widehat{D} \rangle^2} \left\langle \frac{(\widehat{D})^2}{\mu \tau} \right\rangle + \frac{1}{4 \langle \mu \rangle^2} \left\langle \frac{\mu}{\tau} \right\rangle, \\ \alpha_{23} = \frac{1}{12 \langle \widehat{D} \rangle^2} \left\langle \frac{(\widehat{D})^2}{\mu \tau} \right\rangle - \frac{1}{4 \langle \mu \rangle^2} \left\langle \frac{\mu}{\tau} \right\rangle, \quad \alpha_{66} = \frac{1}{2} \left\langle \frac{1}{\mu \tau} \right\rangle, \\ \beta_1^+ = \frac{1}{2} \left(\frac{\Lambda_2}{\tau_2} - \frac{\Lambda_1}{\tau_1} \right), \quad \beta_2^+ = \frac{1}{12 \langle \widehat{D} \rangle} \left(\frac{\widehat{D}_1}{\mu_1 \tau_1} - \frac{\widehat{D}_2}{\mu_2 \tau_2} \right), \\ \beta_2^- = \frac{1}{4 \langle \mu \rangle} \left(\frac{1}{\tau_1} - \frac{1}{\tau_2} \right), \quad \gamma_+ = \frac{1}{12} \left(\frac{1}{c \mu_1 \tau_1} + \frac{1}{(1-c) \mu_2 \tau_2} \right), \\ \beta_{23} = 2\beta_2^-, \quad \gamma_- = 3\gamma_+, \quad \gamma_{23} = 6\gamma_+, \end{aligned}$$

где использовано обозначение

$$\Lambda_\alpha = \frac{\widehat{D}_\alpha}{3\mu_\alpha \langle \widehat{D} \rangle} \left\langle \frac{\widehat{\lambda}}{\widehat{\lambda} + 2\mu} \right\rangle + \frac{2}{3(\widehat{\lambda}_\alpha + 2\mu_\alpha)}.$$

Отметим выполнение тождества $3\langle \mu \Lambda \rangle = 1$.

Итак, получена система уравнений эволюции макродеформаций (23) с правыми частями (24), описывающими кинетику неупругого деформирования. Тензор α_{ij} обладает свойствами симметрии трансверсально изотропного материала. Важным обстоятельством является то, что правые части ψ_{ij} , ψ_\pm , ψ_{23} симметричны относительно переменных σ_{ij} , q_\pm , q_{23} . Это означает, что описание диссипативных процессов в полученной модели удовлетворяет принципу симметрии Онзагера.

Уравнение для макроэнтропии выводится из определения (11) для s и (1) для s^α

$$\frac{\partial s}{\partial t} = c \frac{\partial s^1}{\partial t} + (1-c) \frac{\partial s^2}{\partial t} = c\kappa^1 + (1-c)\kappa^2 = \kappa. \quad (25)$$

Непосредственно из (25), так как $\kappa^\alpha \geq 0$, следует неотрицательность произведения энтропии $\kappa \geq 0$. Формулы для вычисления κ можно получить из представления κ^α в уравнениях (1), используя предположения об однородности напряжений (7), и выражения (21) для σ_{22}^α , σ_{23}^α , σ_{33}^α через σ_{ij} и q_\pm , q_{23} .

Нетрудно убедиться, что выполнен закон сохранения энергии для композита

$$\frac{\partial U}{\partial t} - \sigma_{ij} \frac{\partial u_i}{\partial x_j} = 0, \quad (26)$$

который получается из аналогичных законов сохранения для каждой фазы. Уравнение (25) баланса макроэнтропии может быть также получено из (26) и (23) с использованием выражения (20) для упругого потенциала U . Система (22), (23), (26) полностью описывает динамику композита, состояние которого характеризуется параметрами u_i , ϵ_{ij} , Δ_\pm , Δ_{23} , s .

Как и в волокнистом композите [4], наличие микронапряжений обуславливает неупругое изменение плотности. Действительно, из опре-

делений (9), (10) следует, что

$$\begin{aligned} \frac{\partial}{\partial t} (\varepsilon_{11} + \varepsilon_{22} + \varepsilon_{33}) &= c \frac{\partial}{\partial t} (\varepsilon_{11}^1 + \varepsilon_{22}^1 + \varepsilon_{33}^1) + (1-c) \frac{\partial}{\partial t} (\varepsilon_{11}^2 + \varepsilon_{22}^2 + \varepsilon_{33}^2) - \\ &- c \frac{\partial}{\partial t} (\bar{\varepsilon}_{11}^1 + \bar{\varepsilon}_{22}^1 + \bar{\varepsilon}_{33}^1) - (1-c) \frac{\partial}{\partial t} (\bar{\varepsilon}_{11}^2 + \bar{\varepsilon}_{22}^2 + \bar{\varepsilon}_{33}^2) = \\ &= \frac{\partial u_1}{\partial x_1} + \frac{\partial u_2}{\partial x_2} + \frac{\partial u_3}{\partial x_3} - \bar{\varepsilon}_+ \left(\frac{1}{3\lambda_1 + 2\mu_1} - \frac{1}{3\lambda_2 + 2\mu_2} \right) \frac{\partial \Delta_+}{\partial t}. \end{aligned}$$

Как видно, микронапряжения приводят к неупругому изменению плотности, описываемому слагаемым в правой части

$$B_+ \left[\frac{1}{3\lambda_1 + 2\mu_1} - \frac{1}{3\lambda_2 + 2\mu_2} \right] \psi_+.$$

Представляет интерес выяснить условия кинетического равновесия неупругих деформаций или, другими словами, найти поле напряжений в состоянии, когда прошли все процессы релаксации (для изотропной среды в таком состоянии тензор напряжений шаровой). Эти условия определяются решением системы уравнений

$$\varphi_{ij} = 0, \quad \psi_{\pm} = 0, \quad \psi_{23} = 0,$$

которое имеет вид

$$\begin{aligned} \sigma_{ij} &= 0 \quad (i \neq j), \quad \sigma_{11} = \sigma_{22} = \sigma_{33} = \sigma, \\ \sigma &= (q_+/B_+) \left/ \left(\frac{1}{3\lambda_1 + 2\mu_1} - \frac{1}{3\lambda_2 + 2\mu_2} \right) \right. = \Delta'_1 \left/ \left(\frac{1}{3\lambda_1 + 2\mu_1} - \frac{1}{3\lambda_2 + 2\mu_2} \right) \right. \end{aligned}$$

В заключение выведем формулы для определения эффективных теплофизических характеристик композита — коэффициентов теплового расширения и теплоемкости в упругих процессах. Рассматривая процесс нагревания при постоянных напряжениях, из (16), (18) имеем

$$\begin{aligned} d\sigma_{11} &= C_{11}d\varepsilon_{11} + 2C_{12}d\varepsilon_{22} - d_1d(s - \bar{s}) = 0, \\ d\sigma_{22} &= C_{12}d\varepsilon_{11} + (C_{22} + C_{23})d\varepsilon_{22} - d_2d(s - \bar{s}) = 0, \\ dT &= \Omega d(s - \bar{s}) - d_1d\varepsilon_{11} - 2d_2d\varepsilon_{22}. \end{aligned}$$

Отсюда получаем систему уравнений для нахождения коэффициентов линейного теплового расширения $\alpha_1 = \left(\frac{d\varepsilon_{11}}{dT} \right)_{\sigma_{ij} = \text{const}}$, $\alpha_2 = \left(\frac{d\varepsilon_{22}}{dT} \right)_{\sigma_{ij} = \text{const}}$:

$$\begin{aligned} \left(C_{11} - \frac{(d_1)^2}{\Omega} \right) \alpha_1 + 2 \left(C_{12} - \frac{d_1 d_2}{\Omega} \right) \alpha_2 &= \frac{d_1}{\Omega}, \\ \left(C_{12} - \frac{d_1 d_2}{\Omega} \right) \alpha_1 + \left(C_{22} + C_{23} - \frac{2(d_2)^2}{\Omega} \right) \alpha_2 &= \frac{d_2}{\Omega}. \end{aligned}$$

Решая систему, находим

$$\begin{aligned} \alpha_1 &= \left\langle \frac{\pi/\omega}{\lambda + 2\mu} \right\rangle - \frac{1}{\langle D \rangle} \left\langle \frac{\lambda}{\lambda + 2\mu} \right\rangle \left\langle \frac{2\mu}{\lambda + 2\mu} \frac{\pi}{\omega} \right\rangle, \\ \alpha_2 &= \frac{1}{\langle D \rangle} \left\langle \frac{\pi}{\omega} \frac{\mu}{\lambda + 2\mu} \right\rangle. \end{aligned}$$

Из выражения (20) для упругого потенциала U нетрудно получить также формулу для вычисления теплоемкости при постоянном объеме. Для этого, предполагая $d\varepsilon_{ij} = 0$, $d\Delta = 0$ и используя $dT = \Omega d(s - \bar{s})$, получим $dU = (T/\Omega)dT$. откуда следует

$$c_V = \frac{T_0}{\Omega} = T_0 \left/ \left(\langle \omega^{-1} \rangle^{-1} - c(1-c) \frac{(\mu_2' - \mu_1')^2}{\lambda' + 2\mu'} \right) \right.$$

Отметим, что вычисленные α_1 , α_2 и c_V характеризуют теплофизические свойства материала только в упругих процессах. В случае, когда дефор-

мирование необратимо, величины α_1 , α_2 и c_v зависят от процесса деформирования и нагрева, и для их определения необходимо привлекать уравнения (23), описывающие кинетику процесса.

Авторы признательны фонду Сороса, при поддержке которого выполнялась данная работа.

ЛИТЕРАТУРА

1. Реснянский А. Д., Роменский Е. И. Модель динамического деформирования волокнистого термовязкоупругого композита // ФГВ.— 1992.— 28, № 4.— С. 120—126.
2. Роменский Е. И., Реснянский А. Д. Вязкоупругая модель композита с учетом микронапряжений.— Новосибирск, 1990.— (Препр./СО АН СССР. ИМ; № 14).
3. Мерзиевский Л. А., Реснянский А. Д., Роменский Е. И. Модель вязкоупругого композита с микронапряжениями // Вычислительные проблемы в задачах математической физики: Тр. ИМ СО РАН.— Новосибирск: Наука, 1992.— Т. 22.— С. 151—167.
4. Romensky E. I., Resnyansky A. D., Merzhievsky L. A. The model of viscoelastic composite // Journ. de Physique IV.— 1991.— 1, Coll. C3.— P. 923—930.
5. Годунов С. К. Элементы механики сплошной среды.— М.: Наука, 1978.— 304 с.

г. Новосибирск

Поступила в редакцию 27/1 1993

УДК 534.222.2 : 553.81

*И. Ю. Мальков, Л. И. Филатов, В. М. Титов,
Б. В. Литвинов, А. Л. Чувилин, Т. С. Тесленко*

ОБРАЗОВАНИЕ АЛМАЗА ИЗ ЖИДКОЙ ФАЗЫ УГЛЕРОДА

Изложены результаты по синтезу алмазной фазы углерода при детонации высокотемпературного ВВ бензотрифуроксана (БТФ)— $C_5N_6O_6$. Ввиду высокой температуры продуктов детонации этого безводородного ВВ они находятся в начальный момент в области термодинамической устойчивости жидкой фазы углерода. Высказывается предположение о двухстадийном протекании процесса синтеза: вначале образуются капли жидкого углерода размером 0,1—1 мкм, а затем проходит кристаллизация капель в форме алмазной структуры. Приводимые экспериментальные результаты подтверждают эту гипотезу.

Динамические методы исследований позволяют значительно расширить представления о фазовой диаграмме углерода и кинетике превращения одних кристаллических форм углерода в другие. Обнаружение в продуктах детонации ВВ с отрицательным кислородным балансом типа СННО ультрадисперсной алмазной фазы (УДА) делает возможным исследование образования алмаза при термодинамических условиях, недостижимых для других методов синтеза [1, 3].

В настоящее время для исследований и промышленного производства УДА наибольшее распространение получили взрывчатые составы на основе литых или прессованных смесей типа тротил — гексоген (октоген) в различном соотношении. Давление p и температура T продуктов их детонации в плоскости Чепмена — Жуке составляют соответственно $20 \div 30$ ГПа и $3 \div 4 \cdot 10^3$ К.

В работах [4, 5] показано, что на дисперсность образующегося при детонации ВВ алмаза прежде всего влияют термодинамические параметры синтеза: с ростом температуры средний размер частиц также

© И. Ю. Мальков, Л. И. Филатов, В. М. Титов, Б. В. Литвинов, А. Л. Чувилин, Т. С. Тесленко, 1993.